

## NGHIÊN CỨU LÝ THUYẾT CẤU TRÚC VÀ MỘT SỐ TÍNH CHẤT CỦA CÁC CLUSTER KIM LOẠI PALADI BẰNG PHƯƠNG PHÁP HÓA HỌC TÍNH TOÁN

Lê Khắc Phương Chi<sup>1</sup>, Vi Hữu Việt<sup>1</sup>, Kiều Ngọc Huynh<sup>2</sup>

<sup>1</sup>Trường Đại học Tây Bắc, <sup>2</sup>Trường PTTH Phiêng Khoài Yên Châu - Sơn La

**Tóm tắt:** Cấu trúc và tính chất của một số clusters Pd<sub>n</sub> (n=2÷12) được chúng tôi nghiên cứu bằng phương pháp phiếm hàm mật độ (DFT) BP86 với bộ hàm cơ sở LANL2DZ. Từ đó, chúng tôi đã xác định các cấu trúc bền nhất với độ bội spin khác nhau và một số tính chất như năng lượng liên kết, mức chênh lệch năng lượng LUMO-HOMO, năng lượng ion hóa thứ nhất. Một số kết quả nghiên cứu đã được so sánh với số liệu thực nghiệm cho thấy sự phù hợp tốt.

**Từ khóa:** Cluster Paladi, phương pháp phiếm hàm mật độ (DFT), mức chênh lệch năng lượng LUMO- HOMO.

### 1. Đặt vấn đề

Những năm gần đây, công nghệ nano ra đời không những tạo nên bước nhảy đột phá trong ngành hóa học vật liệu, điện tử, tin học, y sinh học mà còn được ứng dụng rộng rãi trong đời sống. Trong số các vật liệu có kích thước nano, các cluster chiếm một vị trí rất quan trọng vì chúng là các khối xây dựng nên khoa học nano... Nhờ có hiệu ứng bề mặt lớn, có nhiều số phối trí, có khả năng hấp thụ các phân tử khí nhỏ cũng như tính quang học, các cluster kim loại đã mở ra nhiều hướng nghiên cứu về khả năng ứng dụng trong vật liệu bán dẫn, thiết bị điện tử, y học và vật liệu xúc tác mới [1, 7, 8, 12].

Paladi là kim loại chuyển tiếp hiếm, có nhiều ứng dụng trong các lĩnh vực khác nhau như y học, hoá học, vật lí... Paladi được sử dụng trong nhiều đồ điện tử như tivi, máy tính, điện thoại, tụ điện nhiều lớp,... và đặc biệt là chất xúc tác hữu ích của nhiều quy trình công nghiệp. Bên cạnh đó hiệu ứng bề mặt và khả năng hấp phụ tốt các phân tử nhỏ mở ra ứng dụng lớn trong vật liệu xúc tác nhằm giảm ô nhiễm môi trường [3, 5].

### 2. Phương pháp nghiên cứu

Tất cả các tính toán được thực hiện bằng phần mềm Gaussian 09 [11]. Cấu trúc hình học của các cluster Pd<sub>n</sub> (n=2÷12) và một số đại lượng đặc trưng như: tần số dao động, năng lượng ion hóa thứ nhất, năng lượng liên kết, năng lượng liên kết trung bình, mức chênh lệch năng lượng LUMO-HOMO được tính theo phương pháp phiếm hàm mật độ ở mức BP86/ LANL2DZ. Một số kết quả tính toán của chúng tôi được so sánh với kết quả thực nghiệm.

### 3. Kết quả nghiên cứu

#### Cấu trúc của các cluster Pd<sub>n</sub>

Chúng tôi sử dụng các phương pháp phiếm hàm mật độ (DFT) như: B3LYP, B3PW91, BP86... để khảo sát các giá trị về độ dài liên kết và năng lượng liên kết trung bình của cluster Pd<sub>2</sub> với độ bội spin là 3, các kết quả tính toán được so sánh với số liệu thực nghiệm (bảng 1). Từ đó cho thấy phương pháp BP86 phù hợp tốt nhất với thực nghiệm nên được lựa chọn để xác định cấu trúc bền và một số tính chất đặc trưng của các cluster Pd<sub>n</sub>.

**Bảng 1. Giá trị độ dài liên kết d<sub>Pd-Pd</sub> (Å) và năng lượng liên kết trung bình E<sub>LKTB</sub> (eV) của cluster Pd<sub>2</sub> ở trạng thái spin là 3.**

Pd <sub>2</sub>	B3LYP	B3PW91	BP86	Thực nghiệm
d (Å <sup>0</sup> )	2,527	2,504	2,503	2,48
E <sub>LKTB</sub> (eV)	0,474	0,452	0,681	0,57

Cấu trúc các đồng phân bền của các cluster  $Pd_n$  được biểu diễn trong hình 1 theo chiều giảm dần năng lượng tương đối.

Đối với cluster  $Pd_3$ , chúng tôi nghiên cứu 2 dạng là dạng đường thẳng và dạng tam giác. Ở dạng tam giác cân  $C_{2v}$  cho cực tiểu năng lượng thực sự.

Cấu trúc bền nhất đối với  $Pd_4$  là dạng cấu trúc tứ diện với nhóm điểm đối xứng là  $D_{2d}$  và độ bội spin là 3.

Đối với  $Pd_5$ , chúng tôi nghiên cứu 2 dạng cấu trúc là lưỡng tháp tam giác và chóp vuông. Tuy nhiên dạng bền hơn là dạng lưỡng tháp tam giác  $D_{3h}$  có năng lượng thấp hơn dạng  $C_{4v}$  là 0,005 eV.

Cluster  $Pd_6$  cho 2 dạng cấu trúc, đó là dạng lưỡng chóp tứ giác  $O_h$  có độ bội spin là 1 (dạng 6-a), dạng  $C_{2v}$  với độ bội spin là 5 (dạng 6-b). Kết quả cho thấy dạng  $O_h$  có đối xứng cao nhất là cấu trúc bền nhất đối với cluster  $Pd_6$ .

Cluster  $Pd_8$  cho 2 dạng đồng phân khác nhau, đó là các dạng  $D_{2d}$  (dạng 8-a), dạng  $C_{2v}$  (dạng 8-b). Dạng bền nhất đối với cluster  $Pd_8$  là dạng  $D_{2d}$  có độ bội spin là 5.

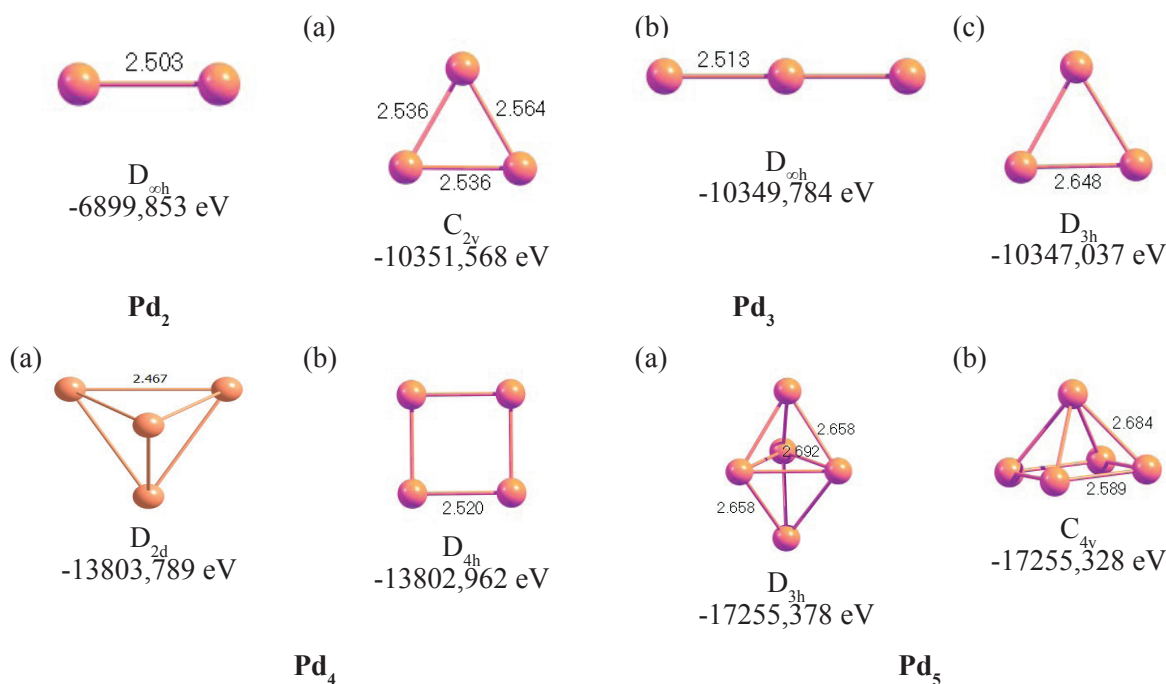
Đối với cluster  $Pd_9$ , có 2 dạng cấu trúc đó là dạng cấu trúc có đối xứng  $C_{2v}$  với độ bội spin là 7 (dạng 9-a) và dạng cấu trúc  $D_{3h}$ . Dạng bền đối với cluster  $Pd_9$  là dạng  $C_{2v}$  với độ bội spin là 7.

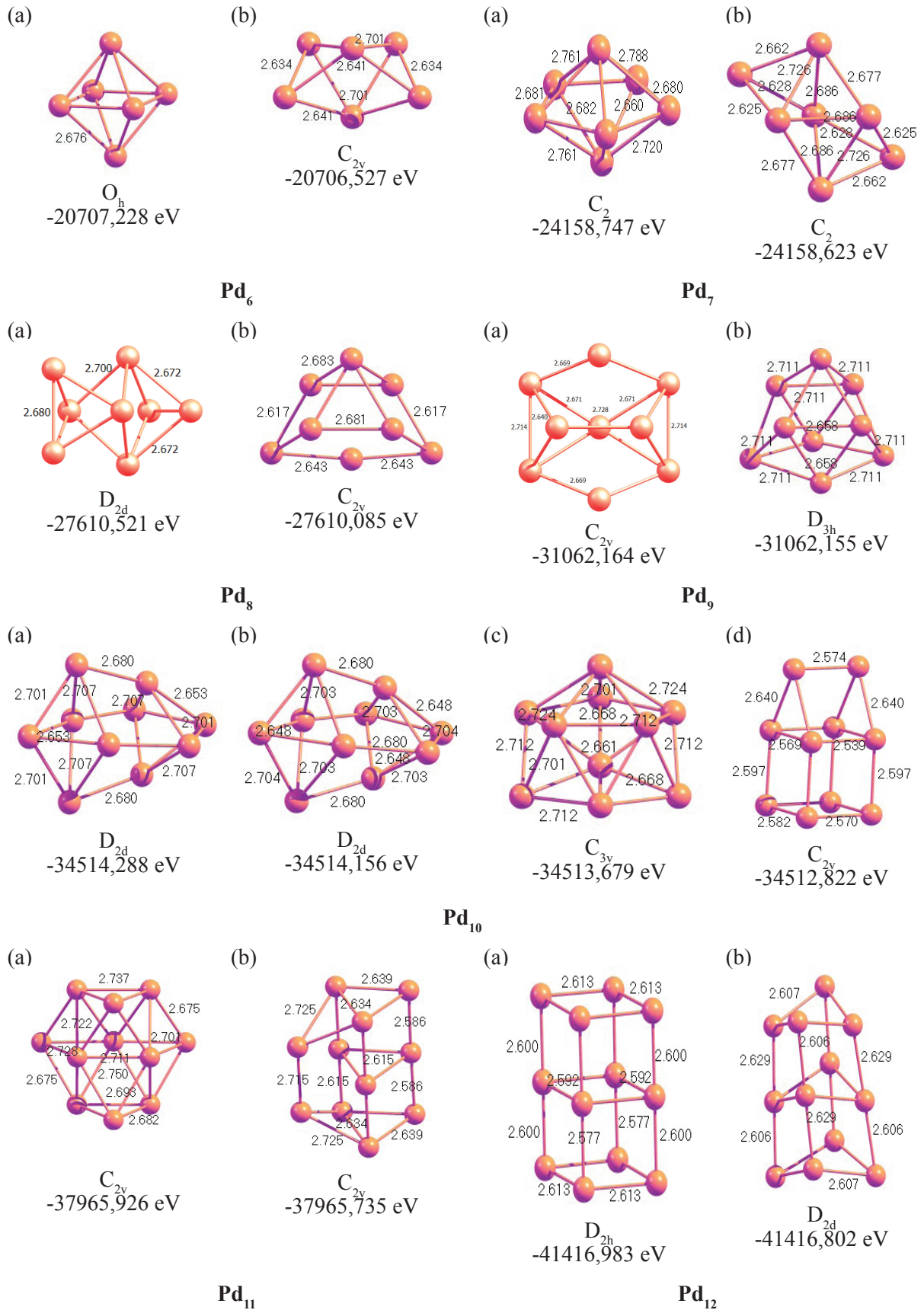
Đối với cluster  $Pd_{10}$ , thu được 4 dạng cấu trúc trong đó dạng  $D_{2d}$  có độ bội spin là 5 có năng lượng thấp nhất do đó chúng tôi chọn dạng này là cấu trúc bền nhất cho  $Pd_{10}$ .

Cluster  $Pd_{11}$  cho rất nhiều cấu trúc khác nhau, như dạng cấu trúc bền ứng với năng lượng thấp nhất đối với cluster  $Pd_{11}$  là dạng  $C_{2v}$  có độ bội spin 5.

Cluster  $Pd_{12}$  cho 2 cấu trúc là  $D_{2h}$ ,  $D_{2d}$  có tất cả các tần số đều dương. Trong đó dạng  $D_{2h}$  (dạng 12-a) với độ bội là 7 có năng lượng thấp nhất, do đó cấu trúc bền đối với cluster  $Pd_{12}$  là cấu trúc có đối xứng  $D_{2h}$ .

Trong các đồng phân thu được, cấu trúc có năng lượng thấp nhất và có tính đối xứng cao được xác định là dạng bền của các cluster  $Pd_n$  (các cấu trúc a trong hình). Các dạng bền của các  $Pd_n$  tương ứng đều có cấu trúc khá đối xứng.





Hình 1. Cấu trúc các dạng đồng phân của cluster Pd<sub>n</sub>

Một số đại lượng đặc trưng của các cluster Pd<sub>n</sub>

Năng lượng ion hóa thứ nhất (I<sub>1</sub>), năng lượng liên kết Pd-Pd (E<sub>Pd-Pd</sub>), năng lượng liên kết trung

binh được tính như sau:  $I_1 = E(\text{Pd}_n^+) - E(\text{Pd}_n)$

$$E_{\text{Pd-Pd}}(\text{Pd}_n) = E(\text{Pd}) + E(\text{Pd}_{n-1}) - E(\text{Pd}_n)$$

$$E_{\text{LKTB}} = (n \times E_{\text{Pd}} - E_{\text{Pd}_n}) / n$$

Các kết quả này được trình bày trong Bảng 2. Từ các giá trị năng lượng thu được có thể thấy rằng giá trị năng lượng liên kết Pd-Pd tăng dần theo số nguyên tử cluster khi  $n=2 \div 4$ , từ Pd<sub>4</sub> đến Pd<sub>11</sub> thì các cluster có số nguyên tử Pd chẵn có giá trị năng lượng liên kết lớn hơn các cluster có số nguyên tử lẻ kể nó, từ Pd<sub>11</sub> trở đến Pd<sub>12</sub> thì giá trị này bắt đầu giảm dần.

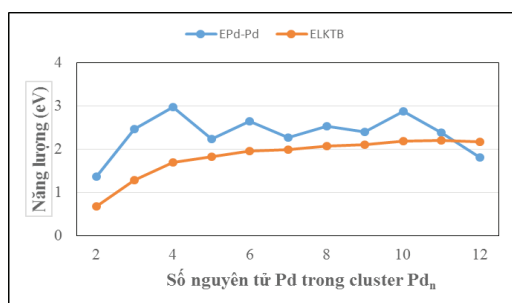
Giá trị năng lượng liên kết trung bình lại tăng đều nhưng tỉ lệ tăng lại giảm khi số nguyên tử Pd trong cluster tăng dần.

Nhìn vào đồ thị (Hình 3) ta thấy năng lượng ion hóa thứ nhất của các cluster Pd<sub>n</sub> có chứa từ 2-6 nguyên tử có năng lượng ion hóa thứ nhất cao hơn các cluster khác.

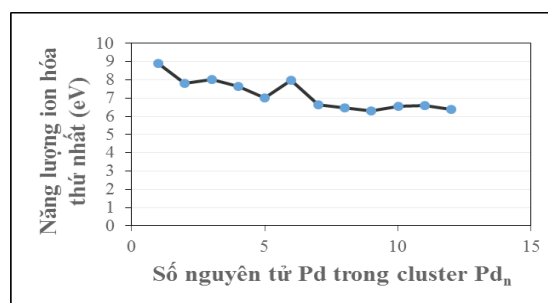
Các kết quả về mức chênh lệch năng lượng của LUMO – HOMO (Bảng 2) biến đổi không đều, giá trị cao nhất là cluster Pd<sub>3</sub> 2,325 eV

**Bảng 2. Một số giá trị đặc trưng của cluster Pd<sub>n</sub> (n=1÷12)**

Pd <sub>n</sub>	Trạng thái spin	$\bar{r}$ (cm <sup>-1</sup> )	Momen lưỡng cực (D)	Nhóm điểm đối xứng	E <sub>Pd-Pd</sub> (eV)	E <sub>LKTB</sub> (eV)	I <sub>Pd<sub>n</sub></sub> (eV)	ΔE <sub>LUMO-HOMO</sub> (eV)	I <sub>Pd<sub>n</sub></sub> thực nghiệm
Pd					0,000	0,000	8,923	0,510	8,34
Pd <sub>2</sub>	Triplet	208,80	0,000	D <sub>∞h</sub>	1,363	0,681	7,793	2,142	7,70
Pd <sub>3</sub>	Triplet	137,26	0,138	C <sub>2v</sub>	2,470	1,277	8,026	2,325	
Pd <sub>4</sub>	Triplet	102,31	0,000	D <sub>2d</sub>	2,976	1,702	7,456	1,722	
Pd <sub>5</sub>	Triplet	52,79	0,000	D <sub>3h</sub>	2,229	1,821	7,013	0,825	
Pd <sub>6</sub>	Singlet	105,06	0,000	O <sub>h</sub>	2,649	1,959	7,785	0,010	
Pd <sub>7</sub>	Triplet	7,59	0,000	C <sub>2</sub>	2,274	1,987	6,640	0,621	
Pd <sub>8</sub>	Quintet	63,87	0,000	D <sub>2d</sub>	2,528	2,070	6,444	0,613	
Pd <sub>9</sub>	Septet	47,30	0,170	C <sub>2v</sub>	2,398	2,106	6,285	0,712	
Pd <sub>10</sub>	Quintet	33,90	0,000	D <sub>2d</sub>	2,879	2,183	6,568	0,542	
Pd <sub>11</sub>	Quintet	33,34	0,397	C <sub>2v</sub>	2,392	2,202	6,604	0,069	
Pd <sub>12</sub>	Septet	7,95	0,000	D <sub>2h</sub>	1,812	2,170	6,380	0,491	



Hình 2. Đồ thị biến đổi năng lượng liên kết Pd-Pd ( $E_{\text{Pd-Pd}}$ ) và năng lượng liên kết trung bình ( $E_{\text{LKTB}}$ ) của các cluster Pd<sub>n</sub>



Hình 3. Đồ thị biến đổi năng lượng ion hóa thứ nhất của các cluster Pd<sub>n</sub>

#### 4. Kết luận

Đã tối ưu hóa cấu trúc các đồng phân của

các cluster Pd<sub>n</sub> với các trạng thái spin khác nhau và tìm ra dạng bền là các cấu trúc có năng lượng thấp nhất tương ứng có độ bền

cao nhất. Từ các cấu trúc bền tính một số đại lượng đặc trưng của các cluster  $Pd_n$  như giá trị năng lượng liên kết Pd-Pd trong mỗi cluster, giá trị năng lượng liên kết trung bình, giá trị năng lượng ion hóa thứ nhất của các cluster, đã so sánh với thực nghiệm cho kết quả tương đồng cao. Tính mức chênh lệch năng lượng HOMO và LUMO. Kết quả thu được cho thấy các cluster kim loại  $Pd_n$  là những vật liệu bán dẫn đầy tiềm năng.

## TÀI LIỆU THAM KHẢO

1. A. Sanchez, S. Abbet, U. Heiz, W.D. Schneider, H. Haekkinen, R.N. Barnett and U.Landman (1999), J. Phys, Chem, A, 103, 9573.
2. Amatayakul, W (2001), "Life cycle assessment of a catalytic converter for passenger cars", Journal of Cleaner Production 9 (5): 395.
3. D. M. P. Mingos and D. J Wales, Introduction to cluster chemistry, Prentice Hall, 1990, ISBN 0-13-479049-9.
4. Heck, R (2001), "Automobile exhaust catalysts", Applied Catalysis A: General, 221, 443.
5. Heck, R (2001), "The application of monoliths for gas phase catalytic reactions", Chemical Engineering Journal, 82, 149.
6. I. Sinfelt, J. H, (1977), Act, Chem, Res, 10, 15.
7. J. A. Alonso (2000), Chem, Rev, 100, 637.
8. J, A, Alonso and N, H, March (1989), Electrons in Metals and Alloys; Academic: London, 1989.
9. K, A, Gingerich and D, L, Cocke (1972), J, Chem, Soc, Chem, Commun, 1, 536
10. M. R. Zakin, D. M. Cox and A. Kaldor (1988), J, Chem, Phys, 89, 1201.
11. M. R. Zakin, D. M. Cox and A. Kaldor (1988), J, Chem, Phys, 89, 1201.
12. M. J. Frisch, G. W. Trucks, H. B. Schlegel, ..., J. A. Pople; Gaussian, Inc, Pittsburgh PA, (2003).
13. Paola Nava, Marek Sierkaa and Reinhart Ahlrichs, (2003), "Density functional study of palladium clusters", Phys. Chem. Chem. Phys, 5, 3372-3381.
14. W.D. Knight, K. Clemenger, W. A. de Heer, W. A. Saunders, M. Y. Chou and M. L. Cohen (1984), Phys, Rev, Lett, 52, 2141.

# THEORETICAL STUDY OF THE STRUCTURE AND PROPERTIES OF PALADIUM CLUSTERS BY CHEMICAL CALCULATION METHOD

Le Khắc Phương Chi<sup>1</sup>, Vi Hữu Việt<sup>1</sup>, Kieu Ngọc Huỳnh<sup>2</sup>

<sup>1</sup>Tay Bac University

<sup>2</sup>Phieng khoai Yen Chau- Son La high school

**Abstract:** *The structure and properties of some Pd<sub>n</sub> clusters (n=2÷12) were investigated using the density functional theory (DFT) with the generalized gradient approximation at BP86 level and the LANL2DZ basis set. We then identified the most stable geometries of the investigated clusters with different spin multiplicities and their properties such as binding energies, LUMO-HOMO gaps, first ionization potentials. A number of research results were compared to experimental data, showing good relevance.*

**Keywords:** *Paladium cluster, density functional theory (DFT), LUMO-HOMO gap.*

---

Ngày nhận bài: 12/9/2019. Ngày nhận đăng: 14/02/2020

Liên lạc: Lê Khắc Phương Chi; Email: [lekhaophuongchidhtb@gmail.com](mailto:lekhaophuongchidhtb@gmail.com)